

## تحسين أداء خوارزمية التقطير

### في انترنت الأشياء

طالبة الدكتوراه: منال سعد الله العمر

كلية الهندسة المعلوماتية - جامعة البعث

إشراف الدكتور: أكرم المرعي + د. محسن عبود

#### الملخص

اكتسبت خوارزمية Trickle التي تم تقديمها وتوحيدها في RFC 6206 شعبية كبيرة حيث يمكنها أن تضمن حل تناقض البيانات في البيئات الموزعة بدقة وسرعة مع انخفاض تكلفة الصيانة ودعم جيد للتوسع وزيادة كثافة الشبكة. بالنسبة لهذه الميزات الجذابة تشكل Trickle أساس العديد من معايير الإنترنت ويتم نشرها في العديد من التطبيقات مثل البث الموثوق واكتشاف الخدمة والموارد الموزعة وكذلك بروتوكولات التوجيه ومنها بروتوكول RPL المستخدم في شبكات انترنت الأشياء. قمنا في هذا البحث بتقديم خوارزمية تقطير جديدة (New Sys-Trickle) قادرة على تقليل كل من زمن التقارب و عدد حزم التحكم المرسل في الشبكة و مقدار استهلاك الطاقة ومقدار استهلاك المعالج في آن واحد، وهذا ما يميزها عن الخوارزميات السابقة التي كانت تحسن معيار على حساب معيار آخر. حيث قمنا بدمج ثلاث خوارزميات تقطير وهي Trickle-F و Adaptive-k و Trickle-plus مع إضافة تحسيناتنا على كل منها.

الكلمات المفتاحية: خوارزمية التقطير، انترنت الأشياء، بروتوكول RPL ، نظم

موزعة.

# Improving the performance of IoT Trickle algorithm

## Abstract

The Trickle algorithm that was introduced and standardized in RFC 6206 is gaining popularity as it can ensure fast and accurate resolution of data inconsistency in distributed environments with low maintenance cost, good support for scaling and increased network density. It is for these attractive features that Trickle forms the basis of many Internet standards and is deployed in many applications such as reliable broadcasting, service discovery, distributed resources, as well as routing protocols, including RPL, which is used in IoT networks. In this paper, we presented a new Trickle algorithm (New Sys-Trickle) capable of reducing both the convergence time, the number of control packets sent in the network, the amount of power consumption and the amount of processor operating time at the same time, and this is what distinguishes it from the previous algorithms that were improving a standard at the expense of a standard Else. We have combined three Trickle algorithms Trickle-F, Adaptive-k and Trickle-plus with our improvements to each of them.

**KEYWORDS:** Trickle algorithm, Internet of Things, RPL protocol, distributed system.

## 1. المقدمة:

تتطلب شبكات (Low-Power and Lossy Networks) LLN بناء طوبولوجيا الشبكة بأسلوب يتسم بالكفاءة والسرعة، وبالتالي من الضروري وجود خطة فعالة لاختيار اتجاه البيانات والتوجيه بشكل سريع. يعتمد RPL ( IPv6 Routing Protocol for LLN ) وهو بروتوكول التوجيه في شبكات LLN من أجل الحفاظ على الطاقة والحفاظ على طوبولوجيا الشبكة مع أقل تكلفة للتوجيه خوارزمية Trickle التي تضمن الانتشار السريع لمعلومات التوجيه وتكلفة صيانة منخفضة لطوبولوجيا الشبكة. تستخدم هذه الخوارزمية أسلوب يسمى بالثرثرة المهذبة "polite gossip" وتعني أن المشارك لن ينشر ثرثرة إذا قام شخص آخر بذلك بالفعل وبالتالي بواسطة خوارزمية Trickle يتم التنظيم الذاتي لتبادل الحزم مع العقد المجاورة [2] .

## 2. مشكلة البحث:

على الرغم من الجهود البحثية الموجودة لتحسين خوارزمية Trickle إلا أنه لا توجد خوارزمية تقطير قادرة على تقليل كل من زمن التقارب وعدد حزم التحكم واستهلاك المعالج والطاقة معاً، لذلك عملنا على إيجاد خوارزمية تقطير قادرة على تحسين هذه المعايير الأربعة معاً.

## 3. الهدف من البحث:

يهدف هذا البحث إلى تقديم خوارزمية تقطير جديدة ذات أداء أفضل من أداء خوارزميات التقطير في الدراسات السابقة وذلك باتباع الخطوات التالية :

- الهدف 1: الهدف الأول هو اكتساب معرفة متعمقة وإتقان أحدث ما توصلت إليه مفاهيم إنترنت الأشياء مع التركيز بشكل أكبر على بروتوكول التوجيه RPL وخوارزمية Trickle.

- الهدف 2: فهم الكود البرمجي الخاص ببروتوكول RPL داخل نظام التشغيل contiki وذلك بهدف التعديل عليه .
- الهدف 3: دراسة وتحقيق ومقارنة التحسينات على خوارزمية Trickle في بروتوكول التوجيه RPL.
- الهدف 4: تصميم خوارزمية Trickle جديدة بهدف تحسين أداء RPL من حيث تخفيف استهلاك الطاقة وتخفيض وقت تقارب الشبكة وعدد حزم التحكم ومقدار استهلاك المعالج. حيث سيتم التعديل على الملفات التالية-rpl , rpl.h , rpl.c , dag.c , rpl-icmp6.c , rpl-timers.c .

#### 4. أهمية البحث:

نظرًا لحقيقة أن بروتوكول التوجيه هو أحد الأعمدة الرئيسية لهندسة الشبكات، ويتوقع بثقة ضرورة وجود شبكات LLN ، أصبح RPL سريعًا بروتوكول التوجيه الفعلي لـ IoT (Internet Of Thing) ، علاوة على ذلك لأن RPL هو بروتوكول التوجيه الموحد الوحيد لشبكات LLN حتى الآن ، فإن عدد الأعمال المنشورة حول RPL يزداد كل عام بشكل واضح ومن أهمية خوارزمية Trickle في ضبط انتشار بيانات توجيه بروتوكول RPL تتبع أهمية بحثنا هذا الذي يقدم دراسة شاملة لأهم التحسينات على هذه الخوارزمية وتقييمها ومقارنتها ومن ثم تقديم خوارزمية تقطير جديدة ومحسنة قادرة على تقديم أفضل أداء ممكن.

#### 5. انترنت الأشياء:

تتمثل الرؤية الرئيسية لإنترنت الأشياء في خلق عالم ذكي يوفر مزيدًا من الذكاء للطاقة والصحة والنقل والمدن والصناعة والمباني والعديد من المجالات الأخرى، سيتم تحقيق ذلك من خلال جعل الكائنات التي نتعامل معها يوميًا مزودة بأجهزة استشعار ومحدد

هوية ومحدد مواقع ولها عنوان IP لتصبح كائنات ذكية وقادرة على التواصل ليس فقط مع الكائنات الذكية الأخرى ولكن أيضًا مع البشر [3].

#### 6. بروتوكول توجيه IPv6 للشبكات منخفضة الطاقة والخسارة (RPL) [2]:

هو بروتوكول توجيه IPv6 لشبكات انترنت الأشياء حيث تم اقتراحه للشبكات ذات الوصلات المفقودة التي تكشف عن معدل عالي في أخطاء الحزم وبالإضافة إلى فصل وانقطاع الوصلات. يعتبر بروتوكول RPL من النوع Source Routing (path addressing) حيث يسمح لمُرسل الحزمة بتحديد المسار الذي تتبعه الحزمة عبر الشبكة جزئيًا أو كليًا ويتيح للعقدة اكتشاف جميع الطرق الممكنة للهدف كما يوفر RPL دعم التوجيه لنقل البيانات إما multicast أو unicast. تنظم RPL طوبولوجيا الشبكة على شكل DAG (Directed Acyclic Graph) الذي يتم تقسيمه إلى واحد أو أكثر من DODAG (Destination Oriented DAGs) حيث يتم تحديد المسارات الافتراضية بين العقد في LLN بواسطة هذه البنية الشجرية. يمكن أن تنتمي العقدة الموجودة في DAG إلى أكثر من والد مقارنة بالشجرة التقليدية. ترتبط العقد في بنية DODAG ليس فقط بوالدها ولكن أيضًا مع العقد الأخوية [8]. يكون جذر هذه الشجرة في عقدة المصرف ويعمل هذا الجذر كنقطة عبور إلى شبكات IPv6 ويتميز بكونه عقدة لا تحتوي على نفس القيود مثل عقدة المستشعر ويسمى جهاز التوجيه الحدودي. علاوة على ذلك يتم التحكم في إرسال التحديثات إلى العقد الأخرى بواسطة جهاز التوجيه الحدودي.

#### 6-1. رسائل التحكم في RPL [8]:

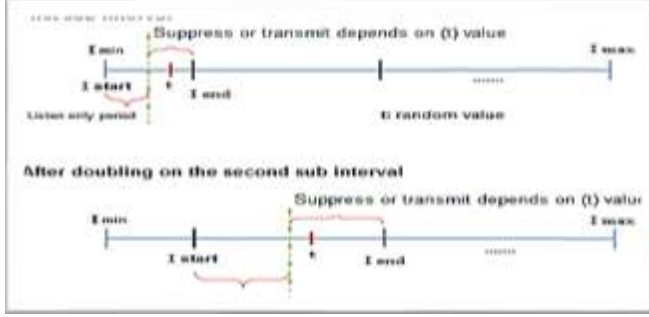
**DODAG Information Solicitation (DIS) (a)**: يتم إرسال هذه الرسالة من خلال عقد جديدة للانضمام إلى DODAG تلتمس من خلالها كائن المعلومات (DIO) من عقدة RPL.

- (b) **DODAG Information Object (DIO)**: رسالة بث مرسله بواسطة عقدة الجذر لإنشاء DODAG يحتوي DIO على معلومات عامة مثل RPLInstanceID أو الترتيب أو DODAGID ، ، إلخ.
- (c) **Destination Advertisement Object (DAO)**: إنها رسالة تُستخدم لإنشاء مسارات توجيهه للأسفل من جذر DODAG إلى العقد الأخرى.
- (d) **Destination Advertisement Object (DAO-ACK)**: ترسل هذه الرسالة من قبل مستلم رسالة DAO (جذر الـ DODAG) كرد على رسالة DAO أحادية الإرسال المستلمة. تحتوي على البيانات المتعلقة بالحالة، تسلسل DAO ، ومعرف حالة الـ RPL .

## 2-6 . خوارزمية Trickle [9]:

يتكون RPL من مجموعة من الخوارزميات، لكل خوارزمية مهام محددة. الخوارزمية الرئيسية في RPL هي خوارزمية Trickle. يتمثل الهدف الرئيسي لخوارزمية Trickle في إدارة عملية الإرسال في الشبكة، حيث تقوم Trickle بتقليل نشر الرسائل التي لا تحتاج إلى إعادة الإرسال مثل الرسائل المتكررة في الشبكة. يتم ذلك باستخدام آليتين الأولى تحدث عندما تظهر حالة عدم تناسق في الشبكة، تزيد الخوارزمية من معدل التحكم في الإشارة لتعود إلى الوضع التوافقي في الشبكة، والثانية تحدث عند تكرار نفس الرسالة في الشبكة والعقد لم تعد بحاجة إليها لأنها متصلة بجيرانها تعمل عندها الخوارزمية على كبح إرسال الرسالة وهذا يساعد على تقليل الرسائل المنتشرة على الشبكة وتوفير الطاقة. تقوم خوارزمية Trickle بتعيين الفاصل الزمني الرئيسي لكل عقدة في الشبكة، ويبدأ هذا الفاصل الزمني من  $l_{min}$  وينتهي عند  $l_{max}$  حيث كل من  $l_{max}$  و  $l_{min}$  متغيرات. تقسم العقدة الفاصل الزمني الرئيسي الخاص بها إلى مجموعة من المناطق الفرعية، كل فاصل زمني يبدأ من  $l_{start}$  وينتهي في  $l_{end}$  وكل من  $l_{start}$  و  $l_{end}$  هي متغيرات. يبدأ التنفيذ من الفترة الفرعية الأولى في العقدة، وعند

انتهاء الفترة الفرعية الأولى يبدأ الفترة الفرعية التالية، وما إلى ذلك حتى ينتهي من جميع المناطق الفرعية عندما يصل المؤقت إلى قيمة  $I_{max}$ .

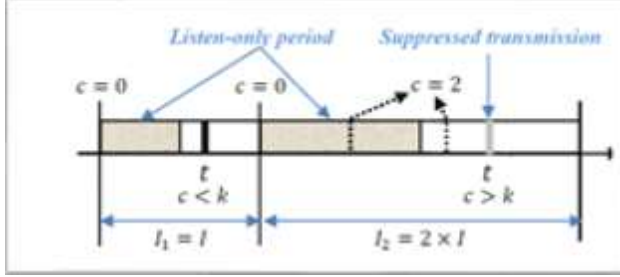


الشكل (1) خوارزمية Trickle القياسية لكل عقدة [9].

تحتوي خوارزمية Trickle القياسية على ثلاثة بارامترات أساسية:

- $I_{max}$ : الحد الأقصى لحجم الفاصل الزمني يوصف  $I_{max}$  على أنه عدد من مضاعفات  $I_{min}$ .
  - $I_{min}$ : الحد الأدنى لحجم الفاصل.
  - $K$ : القيمة الحدية وتسمى أيضاً بثابت التكرار  $k$ .
  - محلياً، تحافظ كل عقدة في الشبكة على مؤقت وثلاثة متغيرات:
  - $a$ : حجم الفاصل الحالي.
  - $C$ : عدد رسائل Trickle المستلمة أثناء الفاصل الحالي ويسمى عداد الاتساق.
  - $t$ : وقت الإرسال وهو عشوائي محدد داخل الفاصل الحالي ( $a$  و  $1/2$ ).
- يمكن التعبير عن خوارزمية Trickle من خلال القواعد أو الخطوات الستة أدناه [1]:
1. **الخطوة 1:** عندما يبدأ Trickle التنفيذ فإنه يختار ( $a$ ) بشكل عشوائي وموحد من  $[I_{min}, I_{min} * 2]$  ويبدأ الفاصل الأول.
  2. **الخطوة 2:** عند بدء فاصل زمني ( $a$ ) تعيد Trickle إعادة تعيين  $c$  إلى 0 وتختار  $t$  بشكل عشوائي من النطاق  $(1, 1/2]$ .
  3. **الخطوة 3:** كلما سمعت عقدة انتقال متناسق مع بياناتها تزيد Trickle عداد الاتساق  $c$ .

4. **الخطوة 4:** في الوقت  $t$  يرسل Trickle إذا كان  $(c < k)$  فقط وخلاف ذلك يتم قمع الإرسال.
5. **الخطوة 5:** عند انتهاء الفاصل الزمني  $I$  يضاعف Trickle طول الفاصل حتى الوقت المحدد بواسطة  $I_{max}$  ثم يبدأ فاصل زمني جديد كما في الخطوة 2.
6. **الخطوة 6:** إذا سمع Trickle انتقال غير متناسق بينما  $I$  أكبر من  $I_{min}$  فإنه يصفر المؤقت. للقيام بذلك يقوم Trickle بجعل  $I$  يساوي  $I_{min}$  ويبدأ فاصلاً جديداً كما في الخطوة 2، وإلا مثلاً  $I$  تساوي  $I_{min}$  عند اكتشاف التناقض ولن يفعل Trickle شيئاً. يضمن اختيار  $t$  من النصف الثاني من الفاصل الزمني في الخطوة 2 فترة استماع تعادل فقط نصف الفاصل ويتم ذلك استجابة لمشكلة الاستماع القصير.



- الشكل (2) خوارزمية Trickle على فترتين مع  $k = 1$ . الخط الأسود عبارة عن عملية إرسال ونقل، والرمادي هو إرسال تم منعه والخطوط المنقطه هي عمليات استقبال رسائل [1].
7. **الدراسات السابقة:** سنشرح في هذا القسم أهم الدراسات التي حسنت خوارزمية التقطير لنقوم في الأقسام التالية بتحقيقها ومقارنتها ثم إضافة تحسيننا عليها.

- **Trickle-F:** اقترح الباحث في [11] نسخة معدلة من خوارزمية Trickle وهي Trickle-F والتي تهدف إلى حل مشكلة موازنة التحميل من خلال ضمان آلية عادلة لكبح البث على المدى القصير بين العقد في المنطقة لتسهيل الاكتشاف السريع لجميع المسارات المتاحة. يتمثل الأساس المنطقي وراء Trickle-F في تحديد أولوية كل عقدة اعتماداً على عدد عمليات القمع المتتالية بمعنى أنه كلما طال الوقت الذي تقضيه العقدة دون الإرسال زادت أولويتها للإرسال في الجولة التالية.



- **I-Trickle**: الخوارزمية المقترحة في [12] والتي تدعى I-Trickle تضع قيمة عداد التكرار redundancy counter عند قيمة الصفر ليس في بداية الفاصل الزمني الجديد ولكن في وقت منع أو إرسال رسالة كائن معلومات DODAG في خوارزمية Trickle من أجل حل مشكلة موازنة الحمل وتقليل استهلاك الطاقة من خلال مراعاة الرسائل التي يتم سماعها من وقت t إلى نهاية الفاصل الزمني.
- **Optimized Trickle**: تم الاقتراح في [1] تحسين بسيط وقوي يقلل من التأخير دون تكبد أي نفقات عامة إضافية. في هذه الخوارزمية المحسنة عندما يتم اكتشاف عدم تناسق، يعيد تعيين I إلى Imin الذي يتم أيضاً في خوارزمية Trickle الأصلية. لكنه يقول أنه في هذا الوقت سيختار الوقت العشوائي t في [0, Imin] بدلاً من [I/2, I] كما هو الحال في خوارزمية Trickle الأصلية.
- **E-Trickle**: في الورقة [14] تم اقتراح نسخة محسنة من Trickle وهي E-Trickle حيث تقدم هذه الخوارزمية ثلاث تعديلات لخوارزمية Trickle. أولاً بدلاً من تحديد الوقت العشوائي t من النطاق [I/2, I] يتم تحديد قيمة t من النطاق [0, I]. ثانياً بدلاً من تعيين عداد التكرار c على قيمة 0 في بداية كل فاصل زمني يتم تعيين c إلى قيمة 0 فقط في بداية الفاصل الزمني الأول Imin وأيضاً في الوقت الذي تم اختياره عشوائياً t وذلك من أجل القضاء على التأثير التراكمي لمشكلة الاستماع القصير. كما قد يلاحظ المرء، فإن ضبط عداد التكرار c إلى 0 في الوقت المحدد عشوائياً سيؤدي إلى فواصل زمنية غير متساوية بين العقد من حيث الطول وبالتالي، فإن العقد ذات طول الفاصل الأقل سيكون لها فرص أكبر للإرسال. للتغلب على هذا الموقف تم إضافة خطوة ثالثة لتعديل قيمة عامل التكرار k حيث تصبح قيمته  $(newk = ((2 * \ln z - 1) / I) * k)$  بشكل متكيف لتعكس التمدد الذي يحدث في حجم الفاصل.
- **Adaptive-k**: يقترح الباحث في [15] امتداداً لخوارزمية Trickle التي تسمى adaptive-k والتي تسمح للعقد بتعيين ثابت التكرار الخاص بها وفقاً للمعلومات المحلية حول كثافة الشبكة. حيث تعتمد كل عقدة على العداد c لتخمين عدد جيرانها وتسمح للعقد بتعيين قيمتها k بشكل مستقل.

- **Trickle-Plus**: يوجد في [10] نسخة موسعة من خوارزمية Trickle. في هذه النسخة بدلاً من زيادة حجم نافذة الإرسال أضعافاً مضاعفة، يتم وضع حجم الفاصل الزمني الجديد بالقيمة  $(I * SF * 2)$  حيث SF هو عامل الاراحة ويعني عدد مرات مضاعفة الفاصل الزمني التي يمكن تخطيها، وبالتالي تتقارب الشبكة بسرعة مع استهلاك أقل للطاقة.
- **RANDOMIZED DYNAMIC TRICKLE**: اقترح الباحث في [7] تحسيناً لخوارزمية Trickle القياسية مرتبطاً بقيمة t. في الخوارزمية المقترحة يتم تحديد وقت لفترة الاستماع وفترة الإرسال بناءً على قيمة t ضمن فترة زمنية فرعية. المتغير t هو وقت عشوائي يستخدم كمحدد للاستماع والإرسال. لذلك يركز هذا العمل بشكل أساسي على اختيار قيمة t. حيث يتم اختيار قيمة t وفقاً لكثافة الشبكة، لتحقيق ذلك يتم اقتراح أربع حالات لاختيار قيمة t أفضل في الفترة الفرعية. في كل مرة يتم التحقق من عدد الجيران (C) لتحديد النطاق الذي يجب أن يتم اختيار فيه وقتاً عشوائياً (t).
- **FL-Trickle**: قدم الباحثون في [6] تحسيناً جديداً لخوارزمية Trickle القياسية وهي خوارزمية Flexible Trickle (FL-Trickle) تقلل FL-Trickle من التأخير في إرسال رسائل التحكم عن طريق تحديد وقت الإرسال T عند  $1/2$  بدلاً من اختياره بشكل عشوائي في  $[1, 1/2]$ . تقلل FL-Trickle من معدل النقل من خلال العمل بقيمة عالية من الحد الأدنى للفاصل الزمني ( $I_{min}$ ) من أجل الحصول على عبء منخفض مع عدم وجود زيادة في استهلاك الطاقة.

## 8. القسم العملي :

### 8-1 . نظام التشغيل Contiki ومحاكي الشبكات Cooja [16]:

تم اختيار Contiki لأنه تم تصميمه خصيصاً لأجهزة IoT منخفضة الطاقة والخسارة ولديه تطبيق أساسي لخوارزمية Trickle في مكتبة ContikiRPL التي سيتم استخدامها كأساس لبحثنا . كما تم اختيار المحاكي Cooja الذي يعمل على نظام تشغيل

Contiki (الإصدار 3.0). يعتمد اختيار هذا المحاكي على اعتبارين رئيسيين: الأول هو محاكي مفتوح المصدر مصمم لتطبيقات إنترنت الأشياء. ثانيًا يجعل تعديل وتحسين خوارزمية Trickle سهلًا جدًا بسبب تنفيذه على RPL الأساسي. كما يوفر محاكي Cooja أدوات لإخراج البيانات من كل اختبار بسهولة شديدة بتنسيق قابل للقراءة. هذا ما يسهل علينا استخلاص البيانات منها وإنتاج الرسوم البيانية من المخرجات باستخدام نصوص Perl لتصفية البيانات الناتجة إلى مقاييس الأداء المرغوب فيها، بالإضافة إلى ذلك يوفر هذا المحاكي أداة تدعى collect view التي يمكن للمبرمج دمجها بالكود الخاص به وتعرض معلومات ومخططات مفيدة في عملية قياس الأداء.

## 8-2. المقاييس المستخدمة لتقييم الأداء ومقارنته:

- **The Convergence Time (setup time):** وقت تقارب الشبكة مقدار الوقت الذي تحتاجه جميع العقد القابلة للوصول (من حيث الراديو) في الشبكة للانضمام إلى DAG.

$$\text{Convergence Time} = \text{Last DIO joined DAG} - \text{First DIO sent}$$

- **Energy Consumption:** مقدار استهلاك الطاقة بالميلي واط من قبل كل من المعالج والاستماع والارسال ونمط توفير الطاقة LPM.
- **Control Traffic Overhead:** وهذا يشمل رسائل DIO و DIS و DAO التي تم إنشاؤها بواسطة كل عقدة.

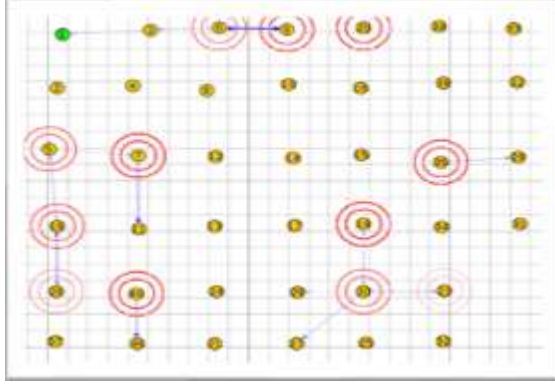
$$\text{Control Traffic Overhead} = \sum_{k=1}^n \text{DIO}(k) + \sum_{k=1}^m \text{DIS}(k) + \sum_{k=1}^o \text{DAO}(k)$$

- **Total CPU consumption (ticks):** مقدار الوقت الذي تم تشغيل المعالج به وذلك لجميع العقد.

لم يتم استخدام معدل تسليم الرزم والتأخير من طرف لطرف في المقارنة وذلك لأن خوارزمية التقطير تقلل عدد حزم التحكم وليس لها تأثير مهم على هذين المعاملين [4].

## 3-8. معاملات المحاكاة [5]:

نظرًا لأن الاختبارات التي تم إجراؤها لمدة 7 دقائق أسفرت عن نتائج مشابهة لتلك التي أجريت لمدة 20 دقيقة، فقد اخترنا 7 دقائق كوقت المحاكاة لجميع عمليات محاكاة Cooja. تحوي طوبولوجيا الشبكة على 20 ثم 40 عقدة عميل في منطقة 100 م × 100 م. تمثل العقدة 1 في الزاوية اليسرى العليا جهاز توجيه الحدودي. يتم وضع جهاز توجيه الحدود في الزاوية بحيث تكون هناك عُقد ذات مسافات إرسال متعددة الفقرات من جهاز توجيه الحدود. يوضح الشكل التالي طوبولوجيا الشبكة المستخدمة في المحاكاة:



الشكل (3) طوبولوجيا الشبكة المستخدمة في المحاكاة تحوي 40 عقدة بمصرف واحد.

## 4-8. مستوى التطبيق Application Level:

لتشغيل الاختبارات قمنا باستخدام نموذج تطبيق UDP Contiki يسمى "Hello World!". يرسل هذا التطبيق البسيط رسالة "مرحبًا" في فاصل زمني محدد. بحيث ترسل كل عقدة عميل رسالة "مرحبًا" إلى جهاز التوجيه الحدودي. يستخدم موجه الحدود الملف `udpserver.c` وجميع عُقد المستشعر تستخدم الملف `udp-client.c`. لقد قمنا بتعديل شيفرة المصدر لـ RPL في Contiki لكتابة خوارزميات Trickle حيث تم التعديل على الملف `rpl-timers.c`.

سنستخدم ملحق Cooja المسمى Contiki Test Editor لقياس وقت المحاكاة وإيقاف المحاكاة بعد الوقت المحدد. ينشئ هذا البرنامج المساعد أيضًا ملف سجل

(COOJA.testlog) لجميع مخرجات المحاكاة التي سنقوم بتحليلها في نهاية المحاكاة باستخدام برنامج نصي مكتوب بلغة Perl. من أجل إدخال الضياع في الوسط اللاسلكي نستخدم Cooja Unit Disk Graph Medium، الذي يقدم الضياع فيما يتعلق بالمسافات النسبية للعقد في وسيط الراديو. كما هو موضح في الجدول التالي، فإن تأخير البدء start delay هو تأخير البدء الأولي للتطبيق لبدء إرسال الرسائل إلى عقدة المصرف. وقت البدء الأولي هذا هو الوقت التقريبي الكافي لتقارب الشبكة الأولي. وهذا يضمن أيضاً عدم فقدان الحزمة المرسلة إلى الخادم بسبب نقص اتصال الشبكة. لذلك يمكن إجراء تقييم صحيح لعدد الحزم المرسلة. يتم تعيين DIO و DIO Min و Doublings على القيم الافتراضية في ContikiRPL. تمثل نسبة الاستقبال (RX) مدى ضياع الوسيط الراديوي ويتم تعيينه بالنسب المئوية أثناء التكرار المتتالي للمحاكاة. يتم تعيين نسبة الإرسال (TX) على 100% (بدون خسارة) لأننا لا نهدف إلى إحداث خسائر عند طرف الإرسال ولكن فقط عند طرف الاستقبال. تم ضبط نطاق TX على 50 م ونطاق التداخل على 55 م .

الجدول (1) اعدادات المحاكاة.

Parameters	Value
Start Delay	65 s
RPL MOP	NO_DOWNWARD_ROUTE
OF	ETX
DIO Min	8
DIO Doublings	12
RDC Chanel Check Rate	16
Send Interval	4 s
RX Ratio	30-100%
TX Ratio	100%
TX Range	50m
Interference Range	55m
Simulation Time	7 min
Client Nodes	20,40

## 9. التجارب والنتائج:

قمنا ومن أجل كل خوارزمية بإعادة التنفيذ عشر مرات وأخذ متوسط القيم الناتجة عن التجارب وذلك بعد استثناء القيم الشاذة والمتطرفة لبعض التجارب بتطبيق قانون المدى الربيعي عن القيم العشر الناتجة.

- مثال لنتيجة تحليل الملف analysis.pl باستخدام ملف التحليل COOJA.testlog الذي قمنا بكتابته بلغة PERL وذلك لخوارزمية Trickle الأصلية:

```
user@instant-contiki:~/contiki-3.9/perl$ perl analysis.pl COOJA.testlog
NETWORK SETUP TIME
=====
First DID      Last DID  Joined DAG  Setup Time(ms)
-----
1338934.888    1388888.888    18466154.888

ENERGY CONSUMPTION
=====
Nodes  Total Transmit ticks  Total Listen Ticks  Total Consumption(ticks)  Total cpu  Total Ipm  Total Time  Radio ON Time
-----
20     2810612                2732615                5549227                    7388828   233499414  242799234   2.286

NETWORK TRAFFIC
=====
DID      DTS      DAG
-----
272      18       71
```

الشكل (4) نتيجة تحليل ملف الخرج COOJA.testlog حالة خوارزمية Trickle وشبكة تحتوي 20 عقدة.

```
user@instant-contiki:~/contiki-3.9/perl$ perl analysis.pl COOJA.testlog
NETWORK SETUP TIME
=====
First DID      Last DID  Joined DAG  Setup Time(ms)
-----
1495564.888    28295269.888    20886645.888

ENERGY CONSUMPTION
=====
Nodes  Total Transmit ticks  Total Listen Ticks  Total Consumption(ticks)  Total cpu  Total Ipm  Total Time  Radio ON Time
-----
20     9239884                7457961                16727765                    28139432   478285440  488379972   3.354

NETWORK TRAFFIC
=====
DID      DTS      DAG
-----
588      37       148
```

الشكل (5) نتيجة تحليل ملف الخرج COOJA.testlog حالة خوارزمية Trickle وشبكة تحتوي 40 عقدة.

## 9-1. ملخص النتائج قبل إضافة التحسين:

بناءً على ما سبق يمكننا رسم الجدول التالي الذي يحوي ملخص النتائج حيث ترمز الإشارة (+) إلى أن الخوارزمية المقابلة قدمت أداء أفضل من الخوارزمية الأصلية

بالنسبة للمعيار المقابل وترمز الإشارة (-) إلى أن الخوارزمية المقابلة قد قدمت أداء أسوأ من الخوارزمية الأصلية بالنسبة للمعيار المقابل بينما ترمز الإشارة (\*) إلى أن الخوارزمية المقابلة قدمت أفضل أداء من بين جميع الخوارزميات الباقية أما الفراغ يعني أن لها نفس أداء الخوارزمية الأصلية:

الجدول (2) تلخيص النتائج قبل إضافة التحسين.

Total CPU	Energy Cosum 40 20	Traffic Overhead	Setup Time	Metric Algorithm
-			+	Trickle-F
-	-	-	*	I-trickle
-	-	-	+	Opt-trickle
-	-	-	+	E-trickle
+	*	+		Adaptive-k
*	+	+	-	Trickle-plus
-		-	+	RD-trickle
+	-	*	-	FL-trickle

نلاحظ من الجدول السابق أن الخوارزمية التي تقدم أفضل (أقل) زمن تقارب هي خوارزمية I-trickle ولكن ذلك كان على حساب عدد حزم التحكم المرسل في الشبكة وكمية استهلاك الطاقة للذين ازدادا عما كانا عليه في Trickle الأصلية. تقدم Trickle-plus أقل عدد حزم تحكم مرسل في الشبكة لكنها بالمقابل تزيد من زمن التقارب وكذلك FL-trickle التي تقلل من عدد حزم التحكم على حساب زيادة زمن التقارب. تقدم Adaptive-k أقل كمية استهلاك طاقة في الشبكة .

## 9-2. مناقشة النتائج:

- تحسن Trickle-F من زمن التقارب نعل ذلك بسبب جعل فترة الاستماع فقط للعقد المحرومة من الإرسال لفترات أطول من غيرها أصغر ما يمكن بحيث تتناسب طرذاً مع عدد فترات الحرمان من الإرسال مما يعطي فرصة أكبر للعقد العائمة

الغير منضمة إلى DODAG من تلقي رسالة DIO أسرع ما يمكن . أما بالنسبة لعدد حزم التحكم الذي بقي بنفس القيمة تقريباً كما في خوارزمية التقطير الأصلية فيعود ذلك إلى كون إبقاء الخوارزمية أطوال الفواصل الزمنية كما هي في الخوارزمية الأصلية وعند دعمها لعقد للإرسال كانت بالمقابل تحرم عقد أخرى من الإرسال لذلك لم تشكل زيادة في عدد حزم التحكم وتقديم الخوارزمية فترة استماع فقط كافية بالنسبة لوضع كل عقدة كما نعلم أن مقدار استهلاك الطاقة يعود إلى أربع أشياء تستهلك الطاقة وهي  $low\ power\ mode -cpu\ listen\ power -transmit\ power$  و  $power-$  بمعنى أن استهلاك الطاقة يتأثر بعدد حزم التحكم المرسل والمستقبل وبما أنها بقيت كما في الخوارزمية الأصلية لذلك فإن استهلاك الطاقة بقي كما في الخوارزمية الأصلية . أما بالنسبة لعدد أجزاء الوقت التي تم استخدام المعالج فيها فقد ازداد بشكل بسيط وذلك بسبب عملية حساب طول فترة الاستماع فقط .

- تحسن trickle-من زمن التقارب وذلك لأنها تتبع نفس أسلوب trickle-F ولكنها تجعل فترة اختيار  $t$  من 0 إلى  $(1/2^s)$  أي أن فترة الاستماع فقط قد تكون معدومة في بعض الفواصل وبالتالي جعلت فترة الاستماع فقط أقل من سابقتها مما يتيح المجال إلى إرسال الرسائل التحكم بشكل أسرع وانضمام أسرع للبيان الموجه الخاص بالشبكة. تظهر جلياً في هذه الخوارزمية مشكلة الاستماع القصير وعدم التزامن حيث بدون التزامن يمكن أن تعاني Trickle من مشكلة الاستماع القصير. أي أن بعض المجموعات الفرعية من العقد تستمع وقت قصير من بداية الفاصل الزمني وقبل قدرة أي عقدة أخرى لديها فرصة للإرسال على الإرسال. إذا تمت مزامنة جميع الفواصل الزمنية عندها فستمنع عملية إرسال العقدة الأولى أي عقدة أخرى من الإرسال، ومع ذلك إذا لم تتم مزامنتها فربما تبدأ العقدة الفاصل الزمني بعد البث مباشرة وقد تختار أيضاً فترة استماع قصيرة مما ينتج عنه إرسال متكررة. إن الاستماع القصير أدى إلى زيادة عدد حزم التحكم واستهلاك الطاقة واستخدام المعالج زاد بسبب الحسابات.



- بالنسبة لخوارزمية optimal trickle و E-trickle فإن اختيار t ضمن المجال  $[0, I_{min}]$  يقلل من زمن تقارب الشبكة ولكن ممكن أن يؤدي إلى ظهور فترة استماع فقط شبه معدومة وتظهر مشكلة الاستماع القصير التي تعني ان العقدة قد تستمع لوقت قصير وتكرر ارسالها لمعلومات مكررة وبالتالي زيادة حزم التحكم في الشبكة وتحسن زمن التقارب في الوقت ذاته .
- خوارزمية Adaptive-k تعتمد على فكرة ضبط قيمة k للفاصل القادم اعتمادا على قيمة c السابق إن هذه العملية والحصول على قيمة k تمثل الجوار يقضي على الارسال الزائد عن الحاجة الذي قد يظهر عندما تكون قيمة k منخفضة والشبكة كثيفة ويقضي على عملية قمع العقدة من الارسال عند ضبط قيمة k على قيمة عالية والشبكة كانت منخفضة الكثافة . لا تحسن هذه الخوارزمية زمن التقارب الذي يبقى كما هو في الخوارزمية الأصلية بينما بسبب تلافي الارسالات المتكررة بشكل فعال تؤدي الى تقليل عدد حزم التحكم واستهلاك الطاقة والمعالج.
- تقوم فكرة خوارزمية trickle plus على عملية تلافي أطوال زمنية وتجاوزها والانتقال إلى الاطوال الأعلى بشكل أسرع مما يجعل عدد رسائل التحكم أقل من حالة trickle الأصلية. تعتمد trickle plus على فترة استماع فقط تساوي نصف الفاصل الزمني كما وأنه من أجل بداية عملية الازاحة بالقرب من  $I_{min}$  أدى ذلك إلى ازدياد زمن تقارب الشبكة لأن الخوارزمية تبدأ بمضاعفة الفاصل الزمني قبل انضمام جميع العقد للشبكة وتلقيها رسائل DIO. إن تخفيض عدد رسائل التحكم يخفض بدوره مقدار استهلاك الطاقة اللازمة لإرسال الرسائل كما أن تجاوز اطوال زمنية وانتقال الى اطوال اعلى يجعل عدد عمليات زيادة c ومقارنتها ب k أقل مما يجعل هذه الخوارزمية الأقل استخداماً للمعالج.
- أما خوارزمية RD-trickle نلاحظ انخفاض زمن التقارب بسبب جعل t وفترة الاستماع فقط تتناسب مع عدد الجيران وبالتالي في العقد الحدودية تصبح هذه الفترة

شبه معدومة مما يولد رسائل تحكم زائدة عن الحاجة مما يؤدي الى زيادة استهلاك الطاقة والمعالج.

- تتشابه FL-trickle مع trickle plus حيث حسنت عدد حزم التحكم ولكن ساء زمن التقارب بالمقابل .

## 10. خوارزمية التقطير الجديدة المتكيفة والمتزامنة New sys-trickle:

انطلاقاً من كون وجود ثلاث خوارزميات Trickle كل منها قادرة على تحسين معامل أداء واحد قررنا في هذا البحث دمج الخوارزميات الثلاثة مع بعضها البعض مع إضافة تحسيننا على كل منها .

الخوارزمية الأولى هي خوارزمية I-trickle التي هي بالأصل تحسين على Trickle-F وانطلاقاً من أن مزامنة الفواصل الزمنية أمر هام جداً وذلك لأنه عند عدم تزامن قد تتزامن فترة الاستماع فقط مع فترة الارسال لعقدة بشكل مستمر مما يؤدي إلى تكرار الرسائل من العقدة الأولى وقمع الرسائل من العقدة الثانية لذلك قدمنا تعديل هام على خوارزمية Trickle-F يجعل من فواصلها متزامنة كما في الشكل التالي :

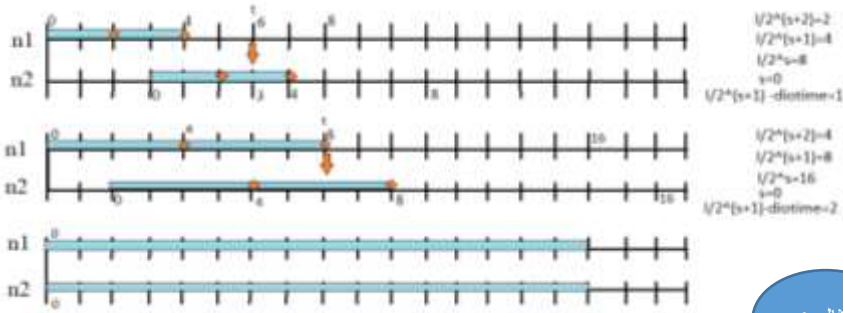
في Trickle-F هناك فترة استماع فقط تنتمي إلى المجال  $[0, 1/2^{s+1}]$  بالتالي فإن الفترة المخصصة لاختيار t ضمنها هي  $[1/2^{s+1}, 1/2^s]$  نلاحظ أن العقدة تكون غير متزامنة عندما تستلم في النصف الثاني من فترة الاستماع فقط رسائل DIO لذلك نقوم بحساب الاختلاف الزمني بين العقدتين من خلال طرح زمن وصول أول رسالة DIO ضمن الفاصل الزمني  $[1/2^{s+1}, 1/2^{s+2}]$  من  $1/2^{s+1}$  .

عند طرح قيمة اللحظة التي استلمت فيها العقدة رسالة DIO (diotime) من  $1/2^{s+1}$  سنحصل هنا على زمن tsys الذي سنقوم ببدء الفاصل الزمني التالي على أساسه حيث أن  $I=1-tsys$  أي سنجعل الفاصل الزمني التالي يبدأ بشكل أكبر بمقدار يساوي tsys .

إن جعل الفاصل الزمني للعقد يبدأ بشكل أكبر يؤدي إلى جعل الشبكة تتقارب بشكل أسرع كما يؤدي إلى تلافي منع وقمع عقد قد تمتلك معلومات توجيه جديدة بشكل متكرر

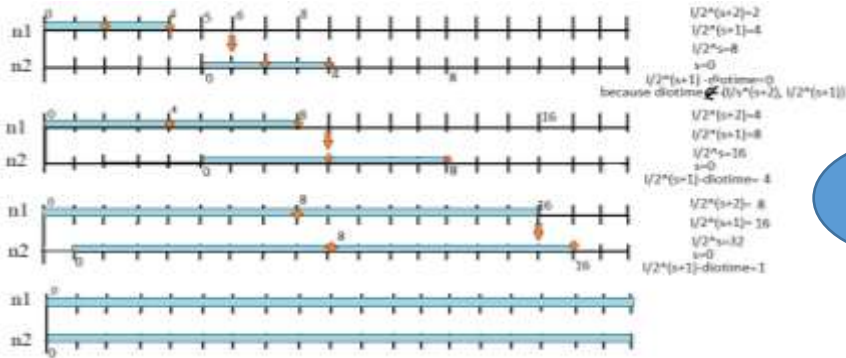
من الارسال وتلافي منح فرصة الارسال بشكل متكرر لعقد أخرى الذي يؤدي إلى نقل معلومات مكررة ضمن الشبكة , وبالتالي تحقيق موازنة جيدة للحمل.

سنقوم بهذه الخطوة فقط في بداية المحاكاة وأثناء عملية الانضمام إلى الشبكة أي في أول أربع فواصل زمنية وذلك لأنه في هذه الفترة تكون قيمة S التي تمثل عدد الفواصل التي تمنع فيها العقدة من الارسال صفر , وبالتالي تكون فترات الاستماع للأب والابن متساوية لأنه عندما تكون هذه الفترات غير متساوية سوف تتلقى العقدة من جيرانها رسائل DIO في الجزء الثاني من فترة الاستماع فقط على الرغم من تزامن الفواصل الزمنية للعقد الذي قمنا بتحقيقه مسبقاً.



مثال 1

الشكل (6) إضافة تزامن للعقد خلال فاصلين زمنين.



مثال 2

الشكل (7) إضافة تزامن للعقد خلال ثلاث فواصل زمنية.

الفكرة الثانية هي في خوارزمية FL-trickle التي هي عبارة عن تحسين على خوارزمية trickle-plus تفرض هذه الخوارزمية أن الازاحة ستكون عشوائية وفي بعض التجارب قد تبدأ الازاحة قبل انضمام جميع العقد وبالتالي زيادة زمن التقارب. التحسين هو أنه سنعمل على جميع الفواصل الزمنية ونجعل iss تساوي Imin و ise ستكون Imax ثم سنعرف متحول يدعى is1 الذي يعبر عن النقطة الفاصلة بين مضاعفة الفاصل بشكل معتاد كما في الخوارزمية الأصلية و الانتقال مباشرة إلى طول الفاصل الزمني الاعظمي , أي أنه عند المرور بمجموعة من الفواصل الزمنية التي تعتبر كافية لتقارب الشبكة سننتقل مباشرة إلى طول الفاصل الأعظمي Imax وبالتالي سنكون ضمناً أن الإزاحة وتلافي الفواصل لن يؤثر على زمن التقارب كما أن الانتقال مباشرة إلى الطول الأعظمي يقلل من عدد رسائل التحكم بشكل واضح.

الفكرة الثالثة هي في خوارزمية adaptive-k تقوم هذه الخوارزمية بضبط قيمة k حسب عدد الجيران وبالتالي مع كل فاصل زمني جديد قد تظهر قيمة جديدة لـ k ولكن يمكن في بعض الفواصل استقبال رسائل من نصف عدد الجيران أو ربعهم أو من لا احد وبالتالي تغيير قيمة k غير فعال. لذلك اقترحنا إضافة متحول نضع فيه قيمة k من الفاصل السابق إذا كانت قيمة k الجديدة أكبر من القديمة عندها لن نغير قيمة المتحول وستبقى في k القيمة الأكبر التي حصلنا عليها من الفواصل السابقة.

```

user@instant-cootiki:~/cootiki-3.0/perls/perl5 perl analysis.pl COOJA.testlog
NETWORK SETUP TIME
-----
First DIO      Last DIO joined DAG      Setup Time(ms)
1185748.000    4746038.000              3642894.000

ENERGY CONSUMPTION
-----
Nodes  Total Transmit ticks  Total Listen ticks  Total Consumption(ticks)  Total cpu  Total Ipm  Total Time  Wradio ON Time
29     1949825                2350943             4300768                 5598758   237281088  242798836   1.771

NETWORK TRAFFIC
-----
DIO      805      840
29       14       38
    
```

الشكل (8) نتيجة تحليل ملف الخرج COOJA.testlog حالة خوارزمية New Sys-

Trickle وشبكة تحتوي 20 عقدة.

```

user@miniat-coolkit1:~/coolkit_3.0/perf$ perf analysis.pl COOJA.testlog
NETWORK SETUP TIME
-----
First DIO      Last DIO  Joined DAG      Setup Time(us)
1813850.988    18132700.988    18819641.988

ENERGY CONSUMPTION
-----
Nodes  Total Transm  ticks  Total Later ticks  Total Consumption(ticks)  Total cpu  Total Ipe  Total Time  Max(c) On Time
49     8382113                7388073                13731100                18488127    479812471    498378508    3.109

NETWORK TRAFFIC
-----
I/O      S/S      OAO
I/O      31      111
    
```

الشكل (9) نتيجة تحليل ملف الخرج COOJA.testlog حالة خوارزمية New Sys- Trickle وشبكة تحتوي 40 عقدة.

```

Algorithm new sys-Trickle
function INITIALIZATION()
    I ← Imin sys = 0 kmid = 0 lss = lmin
    s ← 0 diotime = 0 lsl = 5
function INTERVALBEGINS()
    c ← 0
    sys = 0
    t ← random( $\frac{1}{2^{s+1}}$ ,  $\frac{1}{2^s}$ )
function CONSISTENTTRANSMISSIONRECEIVED()
    c ← c + 1
    diotime = clock_time()
    if diotime > I / 2s + 2 && diotime < I / 2s + 1
        sys = I / 2s + 1 - diotime
function TIMEREXPIRES()
    if k ≥ c then
        Transmit DIO
        s ← 0
    else
        s ← s + 1
    end if if sys > 0 && l < 5 l = l - sys
function INTERVALENDS()
    c ← 0
    newk = 0.5 * c
    if newk < kmin k = kmin
    else if newk > kmax k = kmax
    else if newk > kmin && newk < kmax k = floor(newk)
    if kmid > k k = kmid
    else kmid = k
    if I > lss && I < lsl
        I = I * 2
    else
        I = Imax
if InconsistentTransmissionReceived then
    I ← Imin
    s ← 0
    
```

الشكل (10) كود الخوارزمية.

## 11. النتائج النهائية:

❖ زمن التقارب (us) The Convergence Time :

- الحالة الأولى شبكة تحتوي 20 عقدة موزعة بشكل منتظم:

الجدول (3) متوسط زمن التقارب لجميع الخوارزميات حالة شبكة تحوي 20 عقدة.

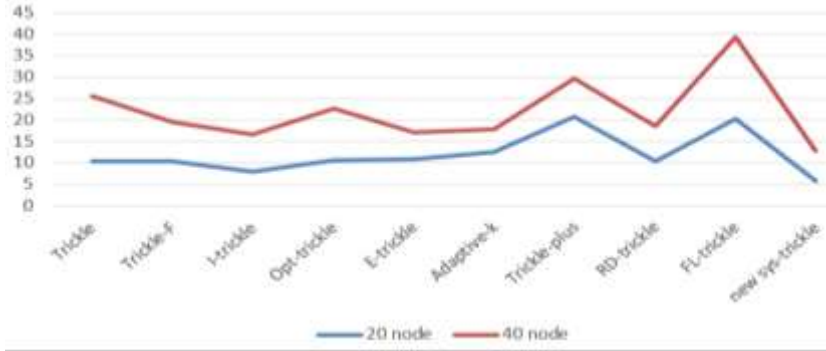
## تحسين أداء خوارزمية التقطير في انترنت الأشياء

Setup Time (us)										
Trickle	Trickle-F	I-trickle	Opt-trickle	E-trickle	Adaptive-k	Trickle-plus	RD-trickle	FL-TRICKLE	new syn-trickle	
10466754	17288865	7274411	9833959	7351746	8788846	53738188	11814344	81726613	3642894	
16389861	10955983	5442737		9194282	7088198	13879747	9841382	13879746	7521462	
9533161	10660428	8788513	13238877	13918589	8542192	28662655	9917268	28662654	7397528	
8782718	12763878	5948187	10208975	11839528	15819565	1197414	8883927	1197413	7781419	
6498822	9681874	9733645	12492798	9883283	22856277	57299255	7733258	4733248	5163264	
8562928	8128167	11899811	8749572	13923888	15943888	13872648	13876755	13872639	3884738	
9688831	6314797	5348189	9562648	15618232	18842928		7846437	61543851	4243321	
7375552	7251512	8318819	9818738	9874613	11146887	14364333	18837163	14364352	4489128	
14188758	13888881	11312994	15626188	11888882	11252843	4773977	11981822	4773976	8332814	
9159267	5989226	5543832	8883483	6818887	9283888	4886785	12758895	4886784	7955311	
18253528.1	18253224.1	7988769.4	18128266	18765838	12466264	28787427.13	18248885.5	28334828.8	5981188.1	
18.2535	18.2532	7.988769	18.128	18.76183	12.466	28.787	18.248	28.334	5.98	

• الحالة الثانية شبكة تحتوي 40 عقدة موزعة بشكل منتظم:

الجدول (4) متوسط زمن التقارب لجميع الخوارزميات حالة شبكة تحوي 40 عقدة.

Setup Time (us)										
Trickle	Trickle-F	I-trickle	Opt-trickle	E-trickle	Adaptive-k	Trickle-plus	RD-trickle	FL-TRICKLE	new syn-trickle	
48855148	17416753	14648888	18898322	15897859	12158532	11715529	18773911	52238323	18818641	
17349523	22843382	28183758	28178289	28842879	14385461	18246483	15118874	21178268	17691435	
28357426	24887818	14287713	2881817	23283283	21856557	18944838	16844838	61855813	14972835	
58418853	29788928	21178419	11488959	15849781	18898253	61974434	13575888	39973721	14288358	
17475566	16936437	15724871	22288939	17988915	18892852	21185596	22688188	31824718	8423179	
26888845		11198886	18718811	19386832	11714759	13953223	22931517	14363945	15811296	
11881187	16488855	13857995	18859884	18813311	14613986	18371649	24178348	18371648	18545884	
18524196	18365188	8638825	28842332	24883226	18886878	25333581	22413838	25885222	18888388	
18112137	18613518	27388113	15888888	28818759	11488285	28888885	13377894	73888878	13872883	
21518818	17989378	18878917	18895362	15489556	17813884	61288884	15523752	71885217	8493647	
25438228.9	19588882.6	16699511.7	22651888.5	171218812.8	17733812.5	29678886.1	18624595	99177817.3	12768557.4	
25.438	19.58	16.69	22.65	17.12	17.73	29.67	18.624	28.177	12.786	



الشكل (11) المخطط الخطي لزمن التقارب.

❖ Traffic Overhead (عدد حزم التحكم):

• الحالة الأولى شبكة تحتوي 20 عقدة موزعة بشكل منتظم:

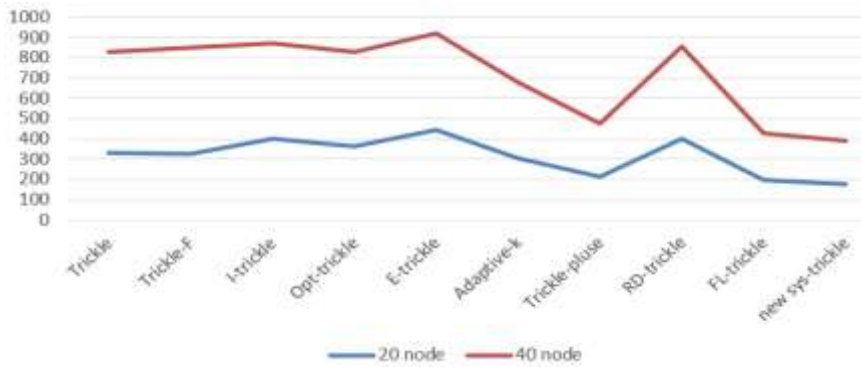
الجدول (4) متوسط عدد حزم التحكم لجميع الخوارزميات حالة شبكة تحوي 20 عقدة.

Traffic Overhead										
Trickle	Trickle-F	I-trickle	Opt-trickle	E-trickle	Adaptive-k	Trickle-plus	RD-trickle	FL-TRICKLE	new syn-trickle	
306	308	364	359	308	203	232	364	199	178	
332	324	478		456	311	211	374	177	182	
291	306	350	336	505	285	254	448	264	169	
312	314	391	374	421	324	222	354	183	161	
298	358	430	410	457	299	190	392	196	182	
352	344	372	354	420	329	218	379	186	184	
321	295	375	352	429	286		521	203	187	
302	317	375	364	430	323	202	309	181	165	
342	306	410	366	436	323	207	358	192	194	
383	333	430	337	512	288	213	441	177	179	
330.9	325.7	399.9	361.3	445.4	305.1	235.2	402	195.8	178.1	

• الحالة الثانية شبكة تحتوي 40 عقدة موزعة بشكل منتظم:

الجدول (5) متوسط عدد حزم التحكم لجميع الخوارزميات حالة شبكة تحوي 40 عقدة.

Traffic Overhead										
Trickle	Trickle-F	I-trickle	Opt-trickle	E-trickle	Adaptive-k	Trickle-plus	RD-trickle	FL-TRICKLE	new syn-trickle	
933	778	950	767	1190	842	451	763	378	372	
755	777	871	766		790	476	946	309	412	
971	877	915	898	1000	835	543	833	458	395	
720	819	829	832	873	866	537	910	447	466	
737		787	855	856	897	440	853	415	329	
931	932	921	1050	828	827	469	795	480	395	
795	1025	815	842	843	791	487	823	450	338	
800	720	890	878	874	862	493	816	487	378	
788	829	883	730	910	824	450	959	406	360	
831.4	847.8	873	830.2	917.8	879.1	478.5	857.1	427.8	389.2	



الشكل (12)المخطط الخطي لعدد حزم التحكم.

❖ Total CPU (ticks):

• الحالة الأولى شبكة تحتوي 20 عقدة موزعة بشكل منتظم:

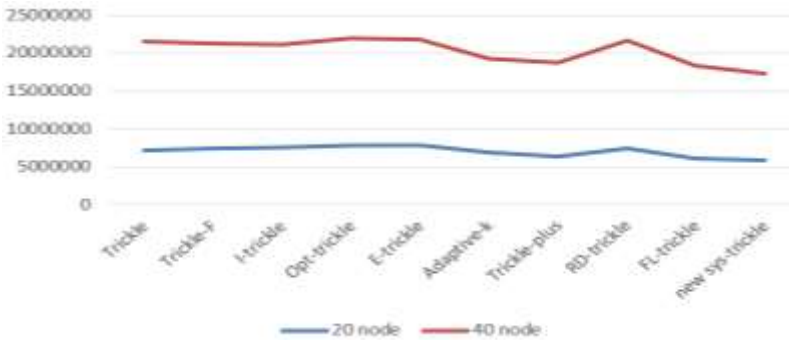
الجدول (6) متوسط زمن تشغيل المعالج لجميع الخوارزميات حالة شبكة تحوي 20 عقدة.

Total cpu (ticks)									
Trickle	Trickle-F	I-trickle	Opt-trickle	E-trickle	Adaptive-k	Trickle-plus	RD-trickle	FL-TRICKLE	new syn-trickle
7345945	6952532	7825506	7238631	7429884	4958385	5504658	7838214	5468691	5588756
7971606	7713851	8713367	8292419	4366148	8841336	6841336	7602217	5746159	5132746
6988951	7406868	6521418	6712185	7747148	4918734	8010889	8821897	7531047	5163049
8913738	7875322	8153134	8078936	8401013	7524329	8951406	6731958	8657423	6977117
8877934	7809271	8872173	7881737	8847714	4479787	8182338	7277488	5888478	8883133
7542731	7578624	7588855	7897483	7518727	7888959	5838413	6827438	5788388	6574861
7526724	6962872	6416846	8653428	7875683	6871429		7882186	8866996	5771887
7188442	7191783	7727335	7982395	8854088	6758744	5896255	7871861	5822288	5747467
7848588	7191168	8138371	7277621	8348414	6889558	6429553	6895798	6218423	6198614
7898345	7488841	7589467	4387158	8841788	4737118	8826698	7364755	5818777	5696281
7148188.4	7379184.8	7583887.2	7853312.8	7983139.8	6828311.3	8311282.7	7361818.5	6889864.8	5877511.1

- الحالة الثانية شبكة تحتوي 40 عقدة موزعة بشكل منتظم:

الجدول (7) متوسط زمن تشغيل المعالج لجميع الخوارزميات حالة شبكة تحوي 40 عقدة.

Total cpu (ticks)									
Trickle	Trickle-F	I-trickle	Opt-trickle	E-trickle	Adaptive-k	Trickle-plus	RD-trickle	FL-TRICKLE	new syn-trickle
23517483	19578845	22875640	20883128	22553158	28359388	17933422	22272881	17172979	18468127
23849982	21892411	21589481	19363458	22522998	17825284	17252774	28417211	16499228	16524545
21888834	19889682	22649198	23872393	18625888	17797888	23980321	23980321	17648846	17639429
23874484	21841546	21883526	20529876	22888541	18486481	28116742	21617888	21228578	15599488
19719138	28899182	28498888	28943865	28983418	18278298	18833584	22725412	17544774	18788141
28138432	19697381	22388824	21770781	23339714	19455867	28988387	28988387	18421735	16588887
23538847	24764771	19643342	27428898	19798888	18693492	17728887	28354181	17863871	18738733
21465372	23388667	21776572	23147488	22684888	19819319	19788474	21628886	28271881	15857885
19418895	18943855	28394449	23192598	22849893	18237213	18682172	28957117	19312415	28854444
19683391	21642255	28279529	18988818	23146864	19388834	18379439	21132886	17624753	16278869
21458878	21187621.5	21125899.2	21895819	21884881	19381492.5	18788822.8	21693338.8	18378128.2	17245386



الشكل (13) المخطط الخطي لزمن تشغيل المعالج.

:Energy Consumption ❖



لحساب استهلاك الطاقة نستخدم أداة Powertrace المتوفرة في Contiki التي تقوم بتحديد ملامح الطاقة على مستوى الشبكة للشبكات اللاسلكية منخفضة الطاقة، حيث تقدر استهلاك الطاقة من قبل وحدة المعالجة المركزية، ونقل الحزم والاستماع . يتم ارسال هذه المعلومات إلى الأداة collect view التي تعرضه على الشكل التالي:

Node Control		Sensor Map		Network Graph		Sensors		Network		Power		Node Info		Serial Console	
Node	Recv...	Dups	Lost	Hops	Reverts	RTT	Churn	Beacon Interval	Reboot	FU Power	LPN Power	Listen Power	Transmit Power	Power	
1.0	0	0	0	0	0	0	0	0	0	0.000	0.000	0.000	0.000	0.000	0.000
2.0	0	0	0	0	0	0	0	0	0	0.000	0.000	0.000	0.000	0.000	0.000
3.0	0	0	0	0	0	0	0	0	0	0.000	0.000	0.000	0.000	0.000	0.000
4.0	0	0	0	0	0	0	0	0	0	0.000	0.000	0.000	0.000	0.000	0.000
5.0	0	0	0	0	0	0	0	0	0	0.000	0.000	0.000	0.000	0.000	0.000
6.0	0	0	0	0	0	0	0	0	0	0.000	0.000	0.000	0.000	0.000	0.000
7.0	0	0	0	0	0	0	0	0	0	0.000	0.000	0.000	0.000	0.000	0.000
8.0	0	0	0	0	0	0	0	0	0	0.000	0.000	0.000	0.000	0.000	0.000
9.0	0	0	0	0	0	0	0	0	0	0.000	0.000	0.000	0.000	0.000	0.000
10.0	0	0	0	0	0	0	0	0	0	0.000	0.000	0.000	0.000	0.000	0.000
11.0	0	0	0	0	0	0	0	0	0	0.000	0.000	0.000	0.000	0.000	0.000
12.0	0	0	0	0	0	0	0	0	0	0.000	0.000	0.000	0.000	0.000	0.000
13.0	0	0	0	0	0	0	0	0	0	0.000	0.000	0.000	0.000	0.000	0.000
14.0	0	0	0	0	0	0	0	0	0	0.000	0.000	0.000	0.000	0.000	0.000
15.0	0	0	0	0	0	0	0	0	0	0.000	0.000	0.000	0.000	0.000	0.000
16.0	0	0	0	0	0	0	0	0	0	0.000	0.000	0.000	0.000	0.000	0.000
17.0	0	0	0	0	0	0	0	0	0	0.000	0.000	0.000	0.000	0.000	0.000
18.0	0	0	0	0	0	0	0	0	0	0.000	0.000	0.000	0.000	0.000	0.000
19.0	0	0	0	0	0	0	0	0	0	0.000	0.000	0.000	0.000	0.000	0.000
20.0	0	0	0	0	0	0	0	0	0	0.000	0.000	0.000	0.000	0.000	0.000
Avg	6.000	0.000	0.000	0.000	1091.368	52.211	0.000	5 min, 30 sec	0.000	0.152	0.152	0.660	0.580	1.561	

الشكل (14) استهلاك الطاقة بالميلي واط لجميع العقد في الشبكة التي تحتوي 20 عقدة حالة خوارزمية Trickle الأصلية.

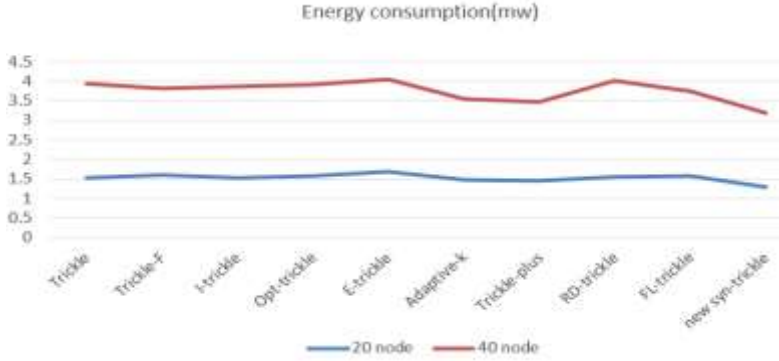
كما في الشكل السابق فإنه ومن أجل كل خوارزمية ومن أجل شبكة بعدد عقد 20 وشبكة بعدد عقد 40 يوجد قيمة للطاقة Power سنزيتها في الجدول التالي :

الجدول (10) متوسط استهلاك الطاقة لجميع الخوارزميات حالة شبكة تحوي 20 عقدة.

power consumption (mw)										
Trickle	Trickle-f	I-trickle	Opt-trickle	E-trickle	Adaptive-k	Trickle-plus	RD-trickle	FL-TRICKLE	new sys-trickle	
1.561	1.476	1.506	1.406	1.583	1.569	1.337	1.686	1.625	1.366	
1.439	1.658	1.811	1.532	1.679	1.342	1.336	1.685	1.485	1.165	
1.661	1.628	1.346	1.413	1.666	1.464	1.884	1.654	1.425	1.249	
1.462	1.693	1.627	1.675	1.786	1.587	1.335	1.385	1.832	1.318	
1.492		1.586	1.743	1.773	1.431	1.407	1.451	1.372	1.383	
								1.747	1.351	
1.523	1.61	1.527	1.569	1.697	1.478	1.443	1.556	1.58	1.292	

الجدول (11) متوسط استهلاك الطاقة لجميع الخوارزميات حالة شبكة تحوي 40 عقدة.

power consumption(mw)									
Trickle	Trickle-F	I-trickle	Opt-trickle	E-trickle	Adaptive-k	Trickle-plus	RD-trickle	FL-TRICKLE	new sys-trickle
2.546	2.106	2.398	2.308	2.292	2.091	2.819	2.610	2.456	1.926
2.474	2.296	2.248	2.248	2.549	2.129	1.916	2.443	1.888	1.961
2.295	2.311	2.298	2.196	2.402	1.979	2.328	2.258	1.992	1.775
2.261	2.163	2.487	2.529	2.409	1.913	1.989	2.591	2.458	1.856
2.474	2.276	2.284	2.462	2.166	2.219	1.968	2.357	1.997	1.968
2.41	2.22	2.337	2.347	2.344	2.066	2.04	2.451	2.158	1.897



الشكل (15)المخطط الخطي لاستهلاك الطاقة.

## 12. التوصيات:

قدمنا في هذا البحث خوارزمية تقطير جديدة متزامنة قادرة على إعطاء أقل زمن تقارب ممكن وذلك بسبب تزامن الفواصل الزمنية للعقد واختيارها فترة استماع فقط منطقية متغيرة مع حالة القمع لكل عقدة على حدى. بالإضافة على قدرة هذه الخوارزمية تخفيض العبء اللازم للتحكم بالتوجيه ببروتوكول RPL من خلال تلافي فواصل زمنية قد لا يكون للمرور فيها داعي أثناء التنفيذ والانتقال مباشرة إلى الطول الأعظمي للفواصل الزمني بعد ضمان تقارب الشبكة . كما أثبتت هذه الخوارزمية قدرتها تخفيض استهلاك الطاقة مقارنة بنظرائها من الخوارزميات لاستخدامها قيمة k تتناسب مع الجوار وبالتالي تقليل تكرار رسائل التحكم في الشبكة وتعتبر هذه الخوارزمية غير مستهلكة للمعالج بما يتناسب مع طبيعة العقد في شبكات الطاقة المنخفضة والخسارة التي تتميز بمواردها المحدودة .

13. المراجع:

- [1] Djamaa, B., & Richardson, M. (2015). Optimizing the Trickle Algorithm, 13(9), 10–13.
- [2] Zhao, M., Kumar, A., Han, P., Chong, J., & Lu, R. (2016). A comprehensive study of RPL and P2P-RPL routing protocols : Implementation , challenges and opportunities. Peer-to-Peer Networking and Applications, (October 2017).
- [3] Bagula, A., & Pietrosemoli, E. (n.d.). Internet of Things IN 5 DAYS.
- [4] Goyal, S., Chand, T., & Member, S. (2018). Improved Trickle Algorithm for Routing Protocol for Low Power and Lossy Networks, 18(5), 2178–2183.
- [5] Benson, D. J. (2016). A Performance Study of RPL with Trickle Algorithm Variants.
- [6] Lamaazi, H., Benamar, N., Kahili, N. E. L., & Taleb, T. (2019). FL-Trickle : New Enhancement of Trickle Algorithm for Low Power and Lossy Networks.
- [7] Yassein, M. B., Alnadi, A., & Bataineh, A. (2018). RANDOMIZED DYNAMIC TRICKLE TIMER ALGORITHM FOR INTERNET OF THINGS, 187–197.
- [8] Idrees, A. K., & Witwit, A. J. H. (2018). A Comprehensive Review for {RPL} Routing Protocol in Low Power and Lossy Networks.
- [9] Yassein, M. B., Hmeidi, I., Shehadeh, H., & Yaseen, W. B. (2015). Performance Evaluation of “ Dynamic Double Trickle Timer Algorithm ” in RPL for Internet of Things ( IoT ).
- [10] Ghaleb, B., Al-dubai, A., Ekonomou, E., Paechter, B., & Qasem, M. (2016). Trickle-Plus : Elastic Trickle Algorithm for Low- Power Networks and Internet of Things, (MEIoT).

- [11] Vallati, C., & Mingozzi, E. (2013). Trickle-F : fair broadcast suppression to improve energy-efficient route formation with the RPL routing protocol.
- [12] Yassein, M. B., Mohammad, R., Masadeh, T., World, T., & Science, I. (2017). A New Dynamic Trickle Algorithm for Low Power and Lossy Networks, (September 2016).
- [13] Ph . D , Performance Evaluation and Improvement of the RPL Protocol. (n.d.).
- [14] Ghaleb, B., Al-dubai, A., & Ekonomou, E. (2015). E-Trickle: Enhanced Trickle Algorithm for Low-Power and Lossy Networks,
- [15] Meyfroyt, T. M. M., Stolikj, M., & Lukkien, J. J. (2015). Adaptive Broadcast Suppression for Trickle-Based Protocols, 0–8.
- [16] F. Osterlind, A. Dunkels, J. Eriksson, N. Finne, and T. Voigt, “Cross-level sensor network simulation with cooja,” in Local computer networks, proceedings 2006 31st IEEE conference on, 2006, pp. 641–648.